Vol. 18, No. 11 Nov., 2002

研究简报

新型红色荧光粉 Sr₃Al₂O₆ 的合成和发光性能研究

刘 阁 ^{1,2} 梁家和 ¹ 邓兆祥 ¹ 李亚栋 * ¹ (¹ 清华大学化学系, 北京 100084) (² 赤峰民族师专化学系, 赤峰 024001)

关键词:

Sr₃Al₂O₆

激发和发射光谱

紫外 - 可见吸收光谱

红色荧光粉

分类号:

0614. 23+2

0614.3+1

稀土金属离子激活的多铝酸盐发光材料、在可 见光区具有较高的量子效率[1~4], 充分显示出这类 荧光发光材料, 在高效节能、环保、电光源与新一代 可见光显示器领域的应用前景[4~9]。特别是 SrAl2O4: Eu2+的持续发光现象的发现[2,3], 激起了对以稀土金 属离子为激活剂、碱土铝酸盐为基质的长余辉无机 发光材料体系的兴趣。研究表明其发光强度和余辉 时间是传统硫化物发光材料的十倍以上、利用其长 余辉储光-发光特性,有望开发新型发光油漆、涂 料、发光陶瓷、发光塑料、薄膜、发光纸、发光纤 维[4]。早在七十年代、荷兰菲利浦公司 Jverstegen 等 先后合成了稀土三基色荧光粉[10]: 绿粉 (Ce, Tb) MgAl₁₁O₁₉, 蓝粉(Ba, Mg, Eu)₃Al₁₆O₂₇ 和红粉 Y₂O₃: Eu3+。其发光效率和显色性与卤磷酸盐相比有很大 的提高[6.7]。其中蓝粉和绿粉均为多铝酸盐体系、能 否合成出铝酸盐体系的红色荧光粉,是一个值得努 力的研究课题。

本文利用水热沉淀法,在一定的温度(180°C)和不同的 pH 条件下反应 24h, 获得前驱物; 然后, 经过较短时间(2h)的高温(1100°C)固相反应获得了铝酸锶系列化合物 $SrAl_2O_4$ 、 $Sr_3Al_2O_6$ 。通过对纯相 $Sr_3Al_2O_6$ 粉末的荧光性质的研究,发现其在不需要任何掺杂的条件下可激发出红光(发射峰在 655nm),这对进一步探索其荧光发光机理,开发新型高效的荧光粉具有重要的意义。

1.1 试剂与仪器

Al(NO₃)₃·9H₂O、Sr(NO₃)₂、NaOH 均为分析纯试剂。产物的物相表征在 Bruker D8-advance 型粉末 X-射线衍射仪 (Cu $K\alpha$, $\lambda = 0.15418$ nm) 上进行。用 (PE) Perkin-Elmer LS-50B 荧光光度计测定荧光体的激发和发射光谱。用岛津 uv-2100S 分光光度计测定样品的紫外反射光谱。

1.2 制备方法

将 Al(NO₃) 3·9H₂O(7.500g)、Sr(NO₃) 2(2.120 g) 溶解在 30mL 蒸馏水中,加入不同量的 NaOH 调 pH。放入高压釜中,在 180℃水热处理 24h 后,自然冷却、过滤、用蒸馏水洗涤至中性、烘干(120℃烘箱 1h)、研磨。在 1100℃炉子中烧结 2h, 得铝酸盐系列产品。

2 结果与讨论

2.1 物相测定

图 1 和表 1 表明了最终所得物相随水热沉淀 pH 值连续变化的结果。图 1 是所得到的产物的 XRD 谱图、当反应体系的 pH \approx 14 时得到的是 Sr₃Al₂O₆ 纯相(图 1A); pH = 13 时得到 Sr₃Al₂O₆、SrAl₂O₄ 两相,从图中可以看出 Sr₃Al₂O₆ 相含量较大, SrAl₂O₄ 相含量较小(图 1B); 而 pH = 12 \sim 13 时得到的 Sr₃Al₂O₆和 SrAl₂O₄两相,含量基本相等(图 1C);

¹ 实验部分

收稿日期:2002-05-27。收修改稿日期:2002-07-25。

国家自然科学基金资助项目(No. 20025102, 50028201, 20151001)。

^{*}通讯联系人。E-mail: ydli@ tsinghua. edu. cn

第一作者:刘 阁,男,41岁,讲师,清华大学访问学者;研究方向:无机材料合成。

表 I pH 值与物相

Table 1 pH and Phases

pН	9	10	11 ~ 12	12	12 ~ 13	13	14
phases	Al ₂ O ₃	Al ₂ O ₃	SrAl ₂ O ₄ *	SrAl ₂ O ₄ (▲)	Sr ₃ Al ₂ O ₆	$Sr_3Al_2O_6(\blacktriangle)$	Sr ₃ Al ₂ O ₆
		SrAl ₂ O ₄		$Sr_3Al_2O_6(\Delta)$	SrAl ₂ O ₄	$SrAl_2O_4(\Delta)$	

- *: monoclinic: lattice constant a = 0.84424nm, b = 0.8822nm, c = 0.51607nm, $\beta = 93.415$ °(JCPDS 34-0379)
- * *: cubic: lattice constant a = 1.58556nm (JCPDS 81-0506)
- ▲: showing the XRD diffraction is strong; △: showing the XRD diffraction is weak.

 $pH = 11 \sim 12$ 时得到的基本为 $SrAl_2O_4$ 相,产物中 $Sr_3Al_2O_6$ 含量很少(图 1D)。比较以上不同条件下的 反应产物,可以看出,反应体系的 pH 值对于最后的产物有重要的影响,其中获得 $SrAl_2O_4$ 相的条件是 $pH = 11 \sim 12$,获得 $Sr_3Al_2O_6$ 纯相的条件是 $pH \approx 14$ 。表 1 所描述了水热沉淀过程 pH 值的连续变化与产物物相的关系,这与图 1 是一致的。

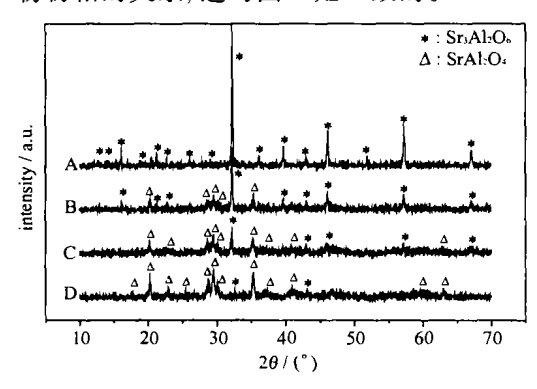


图 1 不同 pH 值条件下所得样品的 XRD 衍射图谱

Fig. 1 XRD patterns of as-synthesized samples in different pH values

以上随 pH 值的不同而产生的变化,主要还要归结于溶液的酸碱度对于反应体系中铝和锶沉淀比例影响。因为 $Al(OH)_3$ 的 K_{sp} 小于 $Sr(OH)_2$ 的 K_{sp} [$Al(OH)_3$: $K_{sp}=1.3\times10^{-33}$; $Sr(OH)_2$ 的 $K_{sp}=3.2\times10^{-4}$]。当加入 NaOH 使体系 pH = 9 时,首先生成 $Al(OH)_3$ 沉淀。随着 NaOH 量的不断增加,当 pH = 12 时, $Al(OH)_3$ 沉淀完全,而 $Sr(OH)_2$ 开始沉淀,到 pH = 14 时沉淀完全。由于 $Al(OH)_3$ 具有两性,pH 值 的不断增大 $Al(OH)_3$ 部分溶解。这样通过调节体系 pH 值就可以调节体系中铝和锶的比例。再增大溶液 碱度,不利于 $Sr_3Al_2O_6$ 的形成。

2.2 紫外-可见吸收光谱

样品的紫外-可见吸收光谱如图 2 所示,反射数据通过 Kubelka-Munk 函数转换成吸收值。图中可见 Sr₃Al₂O₆ 粉体样品对波长小于 500nm 的入射光表现出较明显的吸收,且于 386nm 处出现一吸收峰。

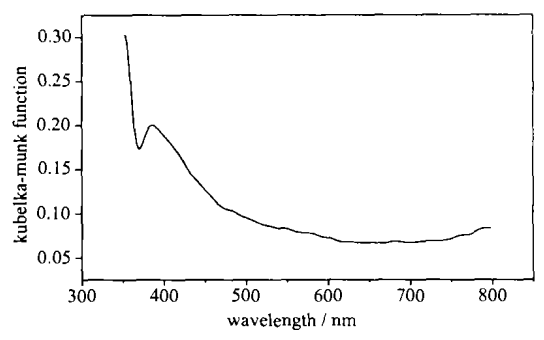


图 2 所制备 Sr₃Al₂O₆ 紫外 - 可见吸收光谱 Fig. 2 UV-vis absorbance of prepared Sr₃Al₂O₆

2.3 激发与发射光谱

样品的荧光激发与发射光谱如图 3、4 所示、由图 3 可以看出样品的最大激发峰位于 459nm 波长处,此外在 415nm 波长处有一小的激发峰。由图 4 可以看出样品的发射带落在 615~683nm 的波长范围内,其中最大发射峰的波长位于 655nm 处。说明在 459nm 波长的光激发下,样品能够发出红色的荧光。为确认这一发光现象的可靠性,我们又采用高温固相法 (1100℃, 24h)制备了 Sr₃Al₂O₆ 粉体样品并测定了该样品的荧光光谱 (最大激发峰为: 458.80nm,最大发射峰为: 655.77nm)。可以看出用两种方法所得到的荧光光谱是基本一致的。

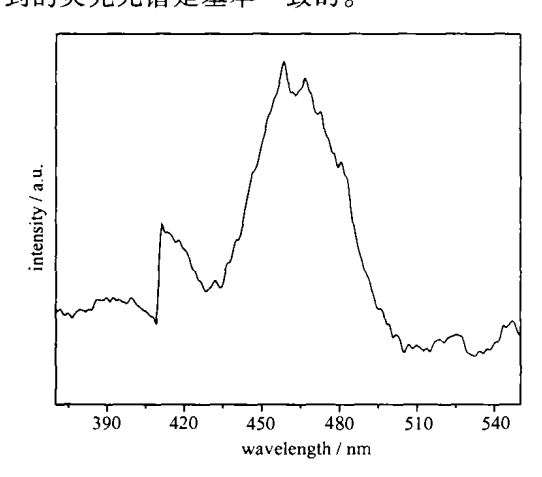


图 3 所制备的 Sr₃Al₂O₆ 的激发光谱

Fig. 3 Excitation spectrum of Sr₃Al₂O₆

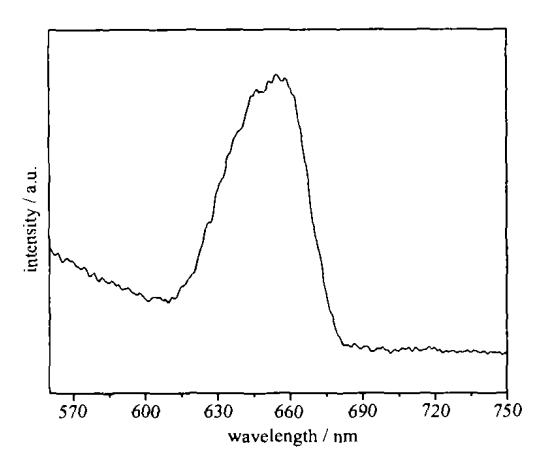


图 4 所制备的 Sr₃Al₂O₆ 的发射光谱 Fig. 4 Emission spectrum of Sr₃Al₂O₆

Sr₃Al₂O₆ 粉体不掺稀土金属离子发光,目前其发光机理尚不清楚,还有待于进一步的研究。

参考文献

[1] Smets B., Butten J., Hoels G. et al J. Electrochem Soc., 1989, 136, 2119.

- [2] Palilla F. C., Levine A. K., Tomkus M. R. J. Electrochem Soc., 1968, 115, 642.
- [3] Abbruscato V. J. Electrochem. Soc., 1971, 118(6), 930.
- [4] LIU Ying-Liang(刘应亮), DING Hong(丁 红) Wuji Huaxue Xuebao(Chinese Journal of Inorganic Chemistry), 2001, 17(2), 181.
- [5] Huang J., Wang H., Hu J. et al J. Lumin., 1988, 40 ~ 41, 157.
- [6] JIANG Hong-Chuan (蒋洪川), YANG Shi-Qing (杨仕清), ZHANG Wen-Xu (张文旭) et al Wuji Cailiao Xuebao (Journal of Inorganic Materials), 2001, 16(4), 720.
- [7] LI Yu-Lin(李玉林) Xitu(Chinese Rare Earths), 1999, 20 (2), 67.
- [8] DAI De-Chang(戴德昌), LI Yuan-Ying(李沅英), CAI Shao-Hua (蔡少华) et al Zhongguo Xitu Xuebao(J. Chinese Rare Earths Soc.), 1998, 16(3), 284.
- [9] LIU Ying-Liang(刘应亮), LI Yuan-Ying(李沅英), YANG Yan-Sheng(杨燕生) et al Gaodeng Xuexiao Huaxue Xuebao (Chemical Journal of Chinese Universities), 1995, 16(1), 9.
- [10] Jverstegen J. M. P. A. J. Electrochem. Soc., 1974. 121 (2), 1623.

Synthesis and Photoluminescence Research of Novel Red-Fluorescent Sr₃Al₂O₆ Powders

LIU Ge^{1,2} LIANG Jia-He¹ DENG Zhao-Xiang¹ LI Ya-Dong^{*,1}
(1 Depertment of Chemistry, Tsinghua University, Beijing 100084)
(2 Depertment of Chemistry, Chifeng Nationality Teachers College, Chifeng 024001)

A series of aluminates were successfully synthesized via hydrothermal precipitated method, followed by solid-state reaction at high temperature. The optimum condition to synthesize $Sr_3Al_2O_6$ was determined by adjusting the pH value of the solutions. The as-prepared $Sr_3Al_2O_6$ with lattice constant a=1.58556nm were characterized by X-ray diffraction (XRD) and photoluminescence spectroscopy (PLS). In PL spectrum, a strongest peak at 655nm is observed, which is corresponding to red light, with an excitation wavelength of 459nm.

Keywords: Sr₃Al₂O₆ excitation and emission spectrum UV-vis adsorbance spectrum red-fluorescence powders